

ДОЛИН А. П.

НАГРУЗОЧНАЯ СПОСОБНОСТЬ ПОФАЗНО-ЭКРАНИРОВАННЫХ ТОКОПРОВОДОВ

Излагается методика расчета распределения плотности тока, потерь, падения напряжения и других электромагнитных параметров пофазно-экранированных токопроводов кольцевого сечения при различной схеме соединения оболочек на основе решения системы интегральных уравнений Фредгольма второго рода методом коллокаций, а также расчета нагрева шин и экранов наружных и внутренних установок (при естественной и смешанной конвекции) в рабочих установившихся режимах. Проводится сопоставление аналитических и экспериментальных значений продольных токов, потерь, температур нагрева шин и экранов, подтвердивших достаточно высокую точность предлагаемой методики расчета. Обсуждаются результаты исследований нагрузочной способности и других параметров токопроводов при нештатном заземлении оболочек в двух точках, установке дросселей в цепи экранов, изменении окраски проводников, солнечной радиации, температуры воздуха.

Разработана и внедрена программа расчета на ПЭВМ типа IBM PC в диалоговом режиме электромагнитных параметров токопроводов, средней температуры нагрева шин и экранов, а также длительно допустимых токов токопроводов, предназначенная для проведения проектно-конструкторских и научно-исследовательских работ.

Расчет нагрузочной способности экранированных токопроводов сводится к решению уравнений электромагнитного поля, в результате которого находится распределение плотности токов в проводниках (шинах и экранах) в рабочих режимах и решению уравнений теплового баланса токопровода относительно температуры или продольных токов шин. Методика расчета электромагнитных полей экранированных токопроводов разрабатывалась в [1—6] и других работах. Например, в [1] разработан экспериментально-расчетный метод, основанный на решении контурных уравнений. Однако использование этого метода в практике проектирования затруднительно, так как требует предварительного определения (например, на физических моделях) двух контурных сопротивлений.

В [2] использовался метод зеркальных отображений. Токи в шинах приняты нитевидными, а экраны сверхпроводящими. В [3] расчет полей сводится к решению системы дифференциальных уравнений в частных производных численными методами. В качестве краевых условий принимается напряженность магнитного поля, определенная для сверхпроводящих экранов. При расчете электромагнитных полей на основе интегральных уравнений нет необходимости определять граничные условия [4, 5]. Однако решение этих уравнений методом итераций [4] требует достаточно большого машинного времени, что затрудняет внедрение этого метода в системах автоматизированного проектирования. Время вычисления на ЭВМ значительно сокращается при решении интегральных уравнений методом коллокаций [5, 6], который разрабатывался для токопроводов с общим экраном кольцевого сечения.

Ниже рассматривается методика расчета электромагнитных полей, плотностей

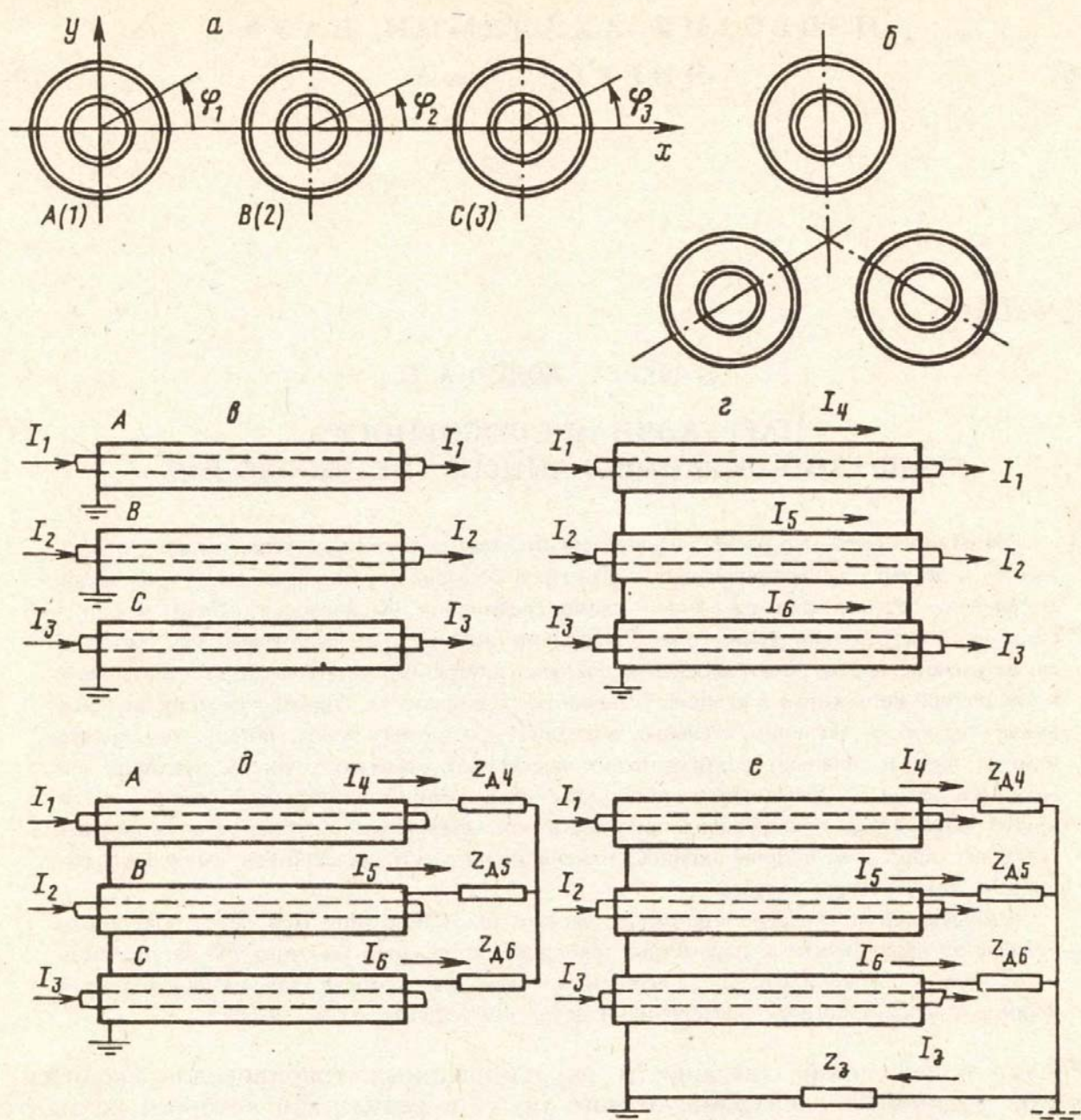


Рис. 1. Схемы соединения оболочек пофазно-экранированных токопроводов

токов, падений напряжений, а также температур нагрева шин и экранов, длительно допустимых рабочих токов и других параметров пофазно-экранированных токопроводов с проводниками кольцевого сечения (рис. 1 α , β) в рабочих (установившихся) режимах на основе решения интегральных уравнений Фредгольма второго рода методом коллокаций, реализованным на ПЭВМ в диалоговом режиме. Разработанные методика, алгоритм и программа предназначены для расчета пофазно-экранированных токопроводов с разомкнутыми (секционированными) оболочками (рис. 1 δ), экранами замкнутыми накоротко или через сопротивления (обычно дроссели) (рис. 1 γ , δ), с экранами (нештатно) заземленными в двух точках (рис. 1 ϵ), а также могут быть использованы для расчета электромагнитных параметров токопроводов без экранов и с общим экраном кольцевого сечения при произвольном расположении проводников.

Распределение плотности токов по сечениям проводников (с относительной магнитной проницаемостью μ , равной 1) в установившемся квазистационарном режиме описывается системой интегральных уравнений [4, 5]

$$\underline{\delta}_n \rho_n - j\omega \frac{\mu_0}{2\pi} \sum_{k=1}^N \int_{S_k} \underline{\delta}_k \ln R_{k(ns)} dS_k = \underline{u}_{np,n} \quad (n = 1, 2, \dots, N), \quad (1)$$

где n, k — номера проводников; N — число проводников токопровода (включая экраны); $\underline{\delta}_n, \rho_n, \underline{u}_{np,n}$ — плотность тока, A/m^2 , удельное электрическое сопротивление, $\Omega \cdot m$, и падение напряжения на единицу длины проводника, V/m ; ω — частота тока, rad/s ; μ_0 — магнитная постоянная, Gn/m ; $R_{k(ns)}$ — расстояние между точкой s проводника, в которой определяется плотность тока и элементарной площадкой dS_k ; S_k — площадь поперечного сечения проводника с номером k , m^2 . (Ниже черта под комплексными величинами для упрощения записи опущена.)

Систему (1) необходимо дополнить уравнениями, связывающими продольные токи проводников с плотностями токов, а для замкнутых экранов — узловыми уравнениями. Продольные токи в проводниках составляют

$$I_n = \int_{S_n} \underline{\delta}_n dS_n \quad (n = 1, 2, \dots, N). \quad (2)$$

Падения напряжения в цепи проводник — дроссель равны

$$U_n = u_n l = u_{np,n} l + U_{d,n}, \quad (3)$$

где u_n — падение напряжения в цепи на единицу длины токопроводов, V/m ; l — длина токопровода, m ; $U_{d,n} = I_n z_{d,n} l$ — падение напряжения в дросселе, V ; $z_{d,n} = r_{d,n} + j\omega L_{d,n}$ — сопротивления дросселя на единицу длины токопровода, Ω/m .

Продольные токи в шинах токопровода I_n ($n = 1, 2, \dots, Q$, где Q — числошин) являются исходными (заданными) параметрами, а в оболочках токопроводов с общим экраном и в разомкнутых оболочках пофазно-экранированных токопроводов они равны нулю:

$$I_n = 0 \quad (n = Q+1, Q+2, \dots, N). \quad (4)$$

Погонные падения напряжения в цепях экранов этих токопроводов, а также шин всех типов токопроводов

$$u_n = u_{np,n}. \quad (5)$$

В пофазно-экранированных токопроводах, оболочки которых замкнуты накоротко или через дроссели (рис. 1 g, ∂) и заземлены в одной точке

$$\sum_{n=Q+1}^N I_n = 0; \quad (6)$$

$$u_{Q+1} = u_{Q+2} = \dots = u_N, \quad (7)$$

здесь $u_{Q+w} = u_{np,(Q+w)} + I_{Q+w} z_{d(Q+w)}$ ($w = 1, 2, \dots, N-Q$).

Если экраны заземлены в двух точках (рис. 1 e),

$$\sum_{n=Q+1}^N I_n = -I_s; \quad (8)$$

$$u_n = u_s \quad (n = Q+1, Q+2, \dots, N), \quad (9)$$

где I_s — ток в земле, A ; $u_s = U_s/l = I_s z_s$ — падение напряжения в контуре заземления на единицу длины токопровода, V/m ; $z_s = r_s + j\omega L_s$ — сопротивление контура заземления на единицу длины токопровода, Ω/m .

В частном случае, если сопротивление контура заземления равно нулю

$$u_n = 0 \quad (n = Q+1, Q+2, \dots, N). \quad (10)$$

Плотности тока в проводниках можно искать в виде рядов по гармоническим и цилиндрическим функциям с неопределенными коэффициентами

$$\delta_k = \sum_{m=0}^{\infty} [a_{km} J_m(\xi_k) \sin m\varphi_k + b_{km} H_m^{(2)}(\xi_k) \cos m\varphi_k + c_{km} J_m(\xi_k) \cos m\varphi_k + d_{km} H_m^{(2)} \sin m\varphi_k], \quad (11)$$

где a_{km} , b_{km} , c_{km} , d_{km} — коэффициенты плотностей токов, A/m^2 ; J_m и $H_m^{(2)}$ — функции Бесселя и Ганкеля m -ого порядка; $\xi_k = \lambda_k R_k$ — относительная радиальная координата; $\lambda = \sqrt{-j\omega\mu_0/\rho}$ — параметр, модуль которого обратно пропорционален глубине проникновения электромагнитной волны, m^{-1} ; R_k и φ_k — радиальная (м) и угловая (рад) координаты точек в сечении k -ого проводника.

Коэффициенты плотностей токов шин b_{k0} и c_{k0} ($k = 1, 2, \dots, Q$) определяются для уединенной шины при заданных значениях продольных токов из уравнения (2), которое приводится к виду

$$I_k = \frac{2\pi}{\lambda} \left[b_{k0} \int_{R_{ki}}^{R_{ke}} R_k H_0^{(2)}(\xi_k) d\xi_k + c_{k0} \int_{R_{ki}}^{R_{ke}} R_k J_0(\xi_k) d\xi_k \right]. \quad (12)$$

После вычисления интегралов, принимая во внимание, что ток во внутренней полости трубчатой шины тождественно равен нулю, получим

$$b_{k0} = \frac{I_k \lambda_k}{2\pi R_{ke} D}; \quad c_{k0} = \frac{I_k \lambda_k}{2\pi R_{ki} D}, \quad (13)$$

где R_{ke} и R_{ki} — внешний и внутренний радиусы шины;

$$D = H_1^{(2)}(\xi_{ke}) J_1(\xi_{ki}) - H_1^{(2)}(\xi_{ki}) J_1(\xi_{ke}).$$

Если толщина стенки шины или экрана невелика, оправдано отказаться от учета неравномерности распределения тока по толщине проводника, что значительно упрощает решение задачи. В этом случае плотности токов можно представить в виде ряда Фурье

$$\delta_k = \frac{1}{h_k} \left[b_{k0} + \sum_{m=1}^{\infty} (a_{km} \sin m\varphi_k + b_{km} \cos m\varphi_k) \right], \quad (14)$$

где h_k — толщина стенки шины или экрана, м.

Тогда продольные токи в проводниках оказываются равными

$$I_k = 2\pi R_k b_{k0}. \quad (15)$$

Потребуем, чтобы уравнения (1) удовлетворялись в конечном числе точек (точках коллокаций). Подставляя (11) или (14) в (1), приходим к системе алгебраических уравнений относительно комплексных коэффициентов a_{km} , b_{km} , c_{km} , d_{km} и падений напряжения u_k . Для токопроводов с малой толщиной стенки трубчатых проводников система (1) с учетом (3)–(9), (15) приводится к виду

$$\begin{aligned} \alpha \sum_{\substack{k=Q+1 \\ (k \neq i \text{ при } \beta=0)}}^N b_{k0} & \left\{ \left[\Delta_n^k \left(\frac{\rho_n}{h_n} + 2\pi R_n r_{\text{д.н}} \right) + (\beta - 1) \Delta_i^n \times \right. \right. \\ & \times \left. \left. \frac{R_k}{R_i} \left(\frac{\rho_i}{h_i} + 2\pi R_i r_{\text{д.и}} \right) + \beta 2\pi R_k r_s \right] - p \left[\frac{\mu_0}{2\pi} \int_{S_k} \ln R_{k(ns)} dS_k - \Delta_n^k 2\pi R_n L_{\text{д.н}} + \right. \right. \\ & + (\beta - 1) \frac{R_k}{R_i} \left(\frac{\mu_0}{2\pi} \int_{S_k} \ln R_{k(is)} dS_k + \Delta_i^n 2\pi R_i L_{\text{д.и}} \right) - \end{aligned}$$

| Тип токопровода | Значения коэффициентов α , β и γ | | | |
|---|--|---------|------------|------------|
| | α | β | γ_1 | γ_2 |
| Токопровод с общим экраном | 0 | — | 1 | 0 |
| Пофазно-экканированные токопроводы с экранами: | | | | |
| секционированными (рис. 1, в) | 0 | — | 1 | 0 |
| замкнутыми накоротко или через дроссели (рис. 1, г, д) | 1 | 0 | 0 | 1 |
| заземленные в двух точках (рис. 1, е) при сопротивлении | | | | |
| $z_3 = 0$ | 1 | 1 | 0 | 0 |
| $z_3 \neq 0$ | 1 | 1 | 0 | 1 |

$$\begin{aligned}
& - \beta 2\pi R_k L_s \Big] \} + \sum_{k=1}^N \sum_{m=1}^{M_k} \left\{ a_{km} \left[\Delta_n^k \frac{\rho_n}{h_n} \sin m\varphi_{(ns)} - \right. \right. \\
& - p \frac{\mu_0}{2\pi h_k} \int_{S_k} \sin m\varphi_k \ln R_{k(ns)} dS_k \Big] + b_{km} \times \\
& \times \left[\Delta_n^k \frac{\rho_n}{h_n} \cos m\varphi_{(ns)} - p \frac{\mu_0}{2\pi h_k} \int_{S_k} \cos m\varphi_k R_{k(ns)} \times \right. \\
& \times dS_k \Big] \} - \left[\sum_{k=1}^Q \Delta_n^k u_n + \gamma_1 \sum_{k=Q+1}^N \Delta_n^k u_n + \gamma_2 \Delta (k \geq Q+1) u_i \right] = - \sum_{k=1}^Q \frac{I_k}{2\pi R_k} \times \\
& \times \left[\Delta_n^k \frac{\rho_n}{h_n} - p \frac{\mu_0}{h_k} \int_{S_k} \ln R_{k(ns)} dS_k \right] \quad (n = 1, 2, \dots, N), \tag{16a}
\end{aligned}$$

где Δ_n^k — символ Кронекера ($\Delta_n^k = 1$, если $k = n$ и $\Delta_n^k = 0$, если $k \neq n$); $\Delta(k \geq Q+1)$ — функция, равная 1 при $k \geq Q+1$ и 0 при $k < Q+1$; R_k — средний радиус проводника с номером k ; i — номер экрана, принятого в расчетах за опорный; α , β , γ_1 и γ_2 — коэффициенты, равные 0 или 1 в зависимости от способа соединения экранов (табл. 1); M_k — удерживаемое число членов ряда (14).

Если экраны токопровода заземлены в двух точках и сопротивление контура заземления z_3 не равно нулю, систему уравнений (16а), согласно (8) и (10), необходимо дополнить уравнением

$$\gamma_2 \left[\sum_{k=Q+1}^N (b_{k0} 2\pi R_k z_3) + \Delta (k \geq Q+1) u_i \right] = 0. \tag{16б}$$

Система (16) для всех рассматриваемых токопроводов, кроме токопровода с экранами, заземленными в двух точках при $z_3 \neq 0$, содержит $\sum_{k=1}^N (2M_k + 1)$ линейно независимых алгебраических уравнений и соответствующее количество перемен-

ных. В токопроводах с экранами, заземленными в двух точках при сопротивлении контура заземления, не равном нулю, порядок системы (16) — $\sum_{k=1}^N (2M_k + 1) + 1$. В результате решения этой системы уравнений определяются коэффициенты продольных токов замкнутых экранов b_{k0} ($k > Q$, $k \neq i$), коэффициенты вихревых токов проводников a_{km} и b_{km} , а также погонные падения напряжения u_k . Коэффициенты продольного тока в опорном экране ($k = i$) вычисляются по формуле

$$b_{i0} = - \sum_{\substack{k=Q+1 \\ k \neq i}}^N R_k b_{k0} / R_i, \quad (17)$$

продольные токи в экранах — согласно (15), токи в контуре заземления — (8), а падения напряжения в экране и дросселе — (3).

Все интегралы в уравнениях (16) приводятся к табличным [7] и определены, например, в [5]. При использовании разложения (11) часть интегралов необходимо вычислять на ЭВМ.

При решении системы алгебраических уравнений (16) предпочтение отдано подпрограмме *DECOMP* [8] (реализованной с двойной точностью), основанной на гауссовском исключении с частичным выбором ведущего элемента, которая также дает оценку обусловленности матрицы коэффициентов при неизвестных. Число членов ряда (14) варьировалось от 0 до 9 и соответственно число точек коллокаций для каждого проводника изменялось от 1 до 19.

Расчеты показали, что для всех рассматриваемых типов токопроводов с достаточной для инженерных задач точностью можно ограничиться тремя членами ряда (14), а в ряде случаев одним-двумя членами. При этом время расчета на IBM PC трехфазных трехпроводных пофазно-экранированных токопроводов составляет менее 1 мин. Для симметричных токопроводов его можно сократить на 30—40%.

Например, если оси шин и экранов лежат в одной плоскости, то при выборе начала отсчета угловой координаты от этой плоскости (совпадающей с осью x на рис. 1, a), плотности токов δ_k оказываются четными функциями φ_k . В этом случае коэффициенты a_{km} ($k = 1, \dots, N$) равны 0, а число линейно независимых переменных и точек коллокаций сокращается до $\sum_{k=1}^N (M_k + 1)$ или $\sum_{k=1}^N (M_k + 1) + 1$.

Как подтвердили расчеты, наибольшая неравномерность распределения тока по периметру оболочек имеет место в токопроводах с разомкнутыми экранами. При установке в цепи экранов индуктивных сопротивлений амплитуды плотностей токов снижаются и в токопроводах с оболочками, замкнутыми накоротко, токи распределены почти равномерно.

Потери в проводниках токопровода определяются по формуле

$$P_k = \int_{S_k} \delta_k^2 \rho_k dS_k. \quad (18)$$

При равномерном распределении тока по толщине проводников потери приводятся к виду

$$P_k = \frac{\pi R_k \rho_k}{h_k} [b_{k0}^2 + \sum_{m=1}^{M_k} (a_{km}^2 + b_{km}^2)]. \quad (19)$$

Результаты расчетов сопоставить с экспериментальными данными. В качестве примера на рис. 2 приводятся расчетные и экспериментальные зависимости потерь и продольных токов экранов от сопротивлений перемычек (включенных в фазах A и C) пофазно-экранированного токопровода ТЭН-300 (современный

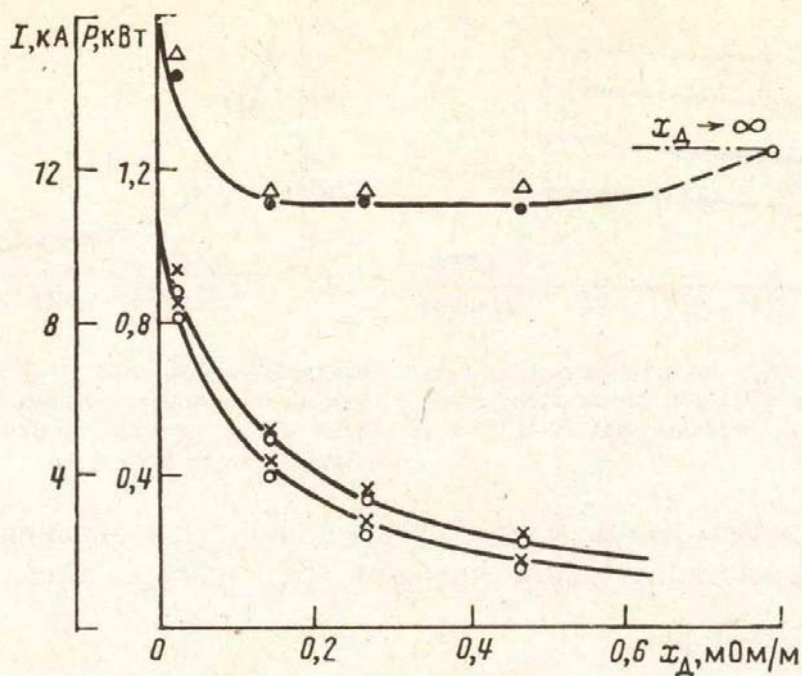


Рис. 2. Расчетные и экспериментальные (отмеченные точками) зависимости продольных токов экранов и суммарных потерь в токопроводе ТЭН-300 от сопротивлений дросселей, включенных в цепь экранов крайних фаз A и C (проводников 4 и 6). ○ — продольные токи, измеренные поясом Роговского; × — продольные токи, определенные по результатам интегрирования плотностей токов, измеренных с помощью потенциометра; * — потери, вычисленные по экспериментальным значениям среднеквадратичных токов с учетом эффекта близости; • — потери, определенные по результатам измерений токов и линейных падений напряжения

аналог — ТЭКЕ-20-12500-400УХЛ1) при рабочем токе $I = 10$ кА. Параметры токопровода: диаметры шин 420 мм, экранов — 890 мм, толщина стенок соответственно 10 и 5 мм, расстояние между фазами 1280 мм. Шины изготовлены из алюминия марки АДО, экраны — АД1Н. Испытания проводились в НИЦ ВВА сотрудниками испытательного центра и кафедры «Электрические станции» МЭИ Берберовым А. Э., Нечаевым Б. В., Солодовниковым Г. Н. и другими.

С увеличением сопротивления перемычек от 0 до ∞ продольные токи экранов снижаются от значения 10 кА, равного рабочему току шин, до 0. Суммарные потери токопровода с увеличением x_d сначала быстро уменьшаются, при $x_d \approx 0,2$ мОм/м стабилизируются, а затем медленно возрастают. Погрешность расчета продольных токов составила не более 10%, а потерь — 5—10%, что близко к точности измерений.

На рис. 3 приводятся зависимости падений напряжения (на единицу длины) в шинах u_w и экранах u_s токопровода ТЭН-300 от сопротивлений, установленных в цепи оболочек фаз A и C . Точками на рис. 3 отмечены экспериментально полученные значения напряжений. Погрешность расчета напряжений не превышала 7%.

На рис. 4 представлена расчетная зависимость тока в земле от сопротивления контура заземления $|z_3|$ (при $r_3/x_3 = 1,9$ и рабочем токе 10 кА) при нештатном заземлении короткозамкнутых экранов токопровода ТЭН-300 в двух точках. Результаты расчетов показали, что ток в контуре заземления может достигать несколько десятков ампер, а при малых значениях сопротивления z_3 — сотни ампер.

Удельные электрические сопротивления в расчетах приняты с учетом температуры нагрева шин и экранов, определенных при испытаниях (или по описанной ниже методике). Сопоставление аналитических и экспериментальных данных показало достаточно высокую точность предлагаемой методики расчета электромагнитных параметров пофазно-экранированных токопроводов в рабочих режимах при различной схеме соединения оболочек.

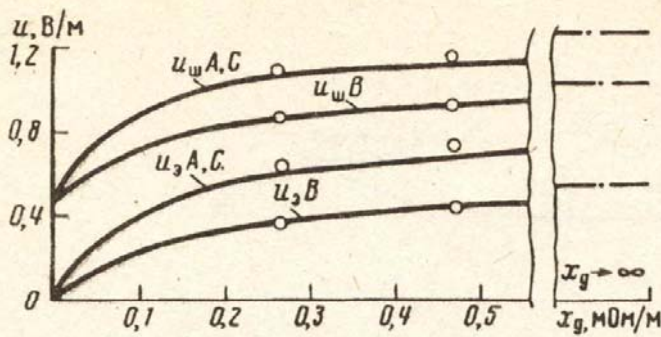


Рис. 3. Зависимости падений напряжений в проводниках токопровода ТЭН-300 от сопротивлений, установленных в цепи экранов фаз А и С при рабочем токе 10 кА

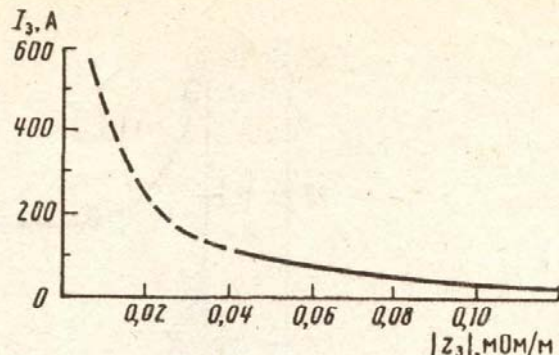


Рис. 4. Зависимости I_3 от сопротивления контура заземления при заземлении экранов токопровода в двух точках и отношении сопротивлений $r_3/x_3 = 1,9$

В рабочих режимах температуры нагрева шин ϑ_w и экранов ϑ_z не должны превышать длительно допустимых значений $\vartheta_{w,\text{доп}}$ и $\vartheta_{z,\text{доп}}$, т. е.

$$\vartheta_w \leq \vartheta_{w,\text{доп}}; \quad \vartheta_z \leq \vartheta_{z,\text{доп}}. \quad (20)$$

В соответствии с ГОСТ 8024-90 [9] допустимая температура шин принята 105° С, а экранов — 80° С. Токопроводы удовлетворяют условиям нагрузочной способности (20), если

$$I_{\text{раб,нб}} \leq I_{\text{доп}}, \quad (21)$$

где $I_{\text{доп}}$ — длительно допустимый рабочий ток токопровода, равный максимальному току, при котором температуры проводников не превышают допустимых.

Таким образом, расчет нагрузочной способности токопровода заключается в определении температур нагрева шин и экранов или допустимого рабочего тока. На практике температуры проводников принимаются неизменными по периметру шин и экранов, равными средним температурам. В этом случае задача сводится к решению системы трансцендентных уравнений теплового баланса коаксиальных проводников, которая при естественном охлаждении токопровода имеет вид

$$\begin{aligned} P_z(I, \vartheta_z) + Q_{k,z}(\vartheta_w, \vartheta_z) + Q_{l,z}(\vartheta_w, \vartheta_z) + Q_c - Q_{l,z}(\vartheta_z) - Q_{k,z}(\vartheta_z) &= 0, \\ P_w(I, \vartheta_w) - Q_{k,z}(\vartheta_w, \vartheta_z) - Q_{l,z}(\vartheta_w, \vartheta_z) &= 0, \end{aligned} \quad (22)$$

где P_z и P_w — потери в экране и шине, Вт; $Q_{k,z}$ и $Q_{l,z}$ — тепловые потоки, обусловленные естественной конвекцией и излучением между шиной и экраном, Вт; $Q_{k,z}$ — тепловой поток при естественной или смешанной (естественной и вынужденной) конвекции с внешней поверхностью экрана, Вт; $Q_{l,z}$ — тепловой поток излучением с внешней поверхности экрана, Вт; Q_c — тепловой поток, обусловленный солнечной радиацией, Вт; I — рабочий ток, А; ϑ_w и ϑ_z — температуры шины и экрана, °С.

Конвективный тепловой поток с поверхности экрана, согласно [10], на единицу длины равен

$$Q_{k,z} = F_{k,z} q_{k,z} = \pi Nu \lambda_b (\vartheta_z - \vartheta_a), \quad (23)$$

где $F_{k,z}$ — площадь внешней поверхности экрана, м²; $q_{k,z}$ — плотность теплового потока, Вт/м²; λ_b и ϑ_a — коэффициент теплопроводности, Вт/(м·С), и температура, °С, окружающего воздуха.

Число Нуссельта при естественной конвекции (во внутренних установках) и смешанной конвекции (характерной при малых скоростях ветра, в том числе при штиле, в наружных установках) определяется критериальными зависимостями вида [10, 11]

Таблица 2

| Индекс установки | Значения констант | | Области значений Cr и Re |
|------------------|-------------------|-------|--|
| | i | n_i | m_i |
| 1 | 0,46 | 0,25 | $1,4 \cdot 10^3 \leq Cr \leq 1,4 \cdot 10^8$ |
| 2 | 0,437 | 0,5 | $5 < Re \leq 10^3$ |
| — | 0,218 | 0,6 | $10^3 < Re < 2 \cdot 10^5$ |
| — | 0,0201 | 0,8 | $3 \cdot 10^5 \leq Re \leq 2 \cdot 10^6$ |

Таблица 3

| Материал | Коэффициенты излучения и поглощения | |
|-----------------------|-------------------------------------|-------|
| | ϵ | a_c |
| Алюминий (окисленный) | 0,11 | 0,40 |
| Краска белая | 0,81 | 0,30 |
| желтая | 0,92 | 0,44 |
| зеленая | 0,92 | 0,61 |
| красная | 0,92 | 0,63 |
| серая | 0,92 | 0,65 |
| черная | 0,96 | 0,90 |

$$Nu = \begin{cases} n_1 Gr^{m_1} k_1, & \text{во внутренних установках;} \\ n_2 Re_*^{m_2} k_2, & \text{в наружных установках,} \end{cases} \quad (24)$$

где n_1 , m_1 , n_2 , m_2 — константы при естественной свободной и вынужденной конвекции (табл. 2); Gr — число Грасгофа; Re_* — эквивалентный критерий Рейнольдса; k_1 и k_2 — коэффициенты, учитывающие влияние соседних фаз токопровода на процесс теплоотдачи конвекцией.

Число Грасгофа равно:

$$Gr = g\beta_v \theta d / v_v^2,$$

где g — ускорение свободного падения, $\text{м}/\text{с}^2$; β_v — температурный коэффициент объемного расширения воздуха, примерно равный $1/T_v$; $T_v = 273 + \vartheta_v$ — термодинамическая температура воздуха, K ; $\theta = \vartheta_s - \vartheta_v$ — перепад температур между экраном и воздухом, $^\circ\text{C}$; d — характерный размер, здесь равный внешнему диаметру экрана d_{s1} , м ; v_v — кинетический коэффициент вязкости воздуха, $\text{м}^2/\text{с}$.

Эквивалентный критерий Рейнольдса, согласно подходу О. Кришера (о единицах соотношения теплообмена) при направлении вынужденного потока в вертикальной плоскости, равен [11]

$$Re_* = Re + \sqrt{0,5Gr}, \quad (25a)$$

а при горизонтальном потоке (ветре), может быть представлен в виде

$$Re_* \approx \sqrt{Re^2 + 0,5Gr}, \quad (25b)$$

где $Re = Vd_{s1}/v_v$ — критерий Рейнольдса; V — скорость ветра, $\text{м}/\text{с}$.

Коэффициенты теплопроводности λ_v и кинетической вязкости v_v являются функциями температуры и в интервале $(-50, +50)^\circ\text{C}$ при нормальном атмос-

ферном давлении для сухого воздуха соответственно составляют $2,04 \cdot 10^{-2} \dots 2,83 \cdot 10^{-2}$ Вт/(м·°C) и $9,23 \cdot 10^{-6} \dots 17,98 \cdot 10^{-6}$ м²/с. В программе эти коэффициенты определяются в зависимости от температуры ϑ_s путем линейной аппроксимации табличных функций λ_s и v_s (заданных с шагом 10° С).

В токопроводах, проводники которых расположены в горизонтальной плоскости, коэффициенты k_1 и k_2 экранов средних фаз незначительно меньше, чем в крайних. Тем не менее в практических расчетах эти коэффициенты для всех фаз обычно принимают одинаковыми, равными 1. При этом погрешность расчета температуры, как показывают измерения [12], не превышает 2–5%.

Тепловой поток излучением (на погонный метр) с внешней поверхности экрана в соответствии с [13, 14] составляет

$$Q_{\text{л. э}} = F_{\text{л. э}} q_{\text{л. э}} = \pi d_{\text{ш}} (1 - \varphi) \varepsilon_{\text{ш}} c_0 \left[\left(\frac{T_s}{100} \right)^4 - \left(\frac{T_w}{100} \right)^4 \right], \quad (26)$$

где φ — угловой коэффициент лучистого теплообмена между цилиндрическими экранами, указанный, например, в [13]; $\varepsilon_{\text{ш}}$ — коэффициент излучения с внешней поверхности экрана; $c_0 = 5,67$ — излучающая способность абсолютно черного тела, Вт/(м²·К⁴); T_s — термодинамическая температура экрана, К.

Тепловой поток, поглощаемый экранами в наружных установках при солнечной радиации, равен

$$Q_c = a_c q_c d_{\text{ш}}, \quad (27)$$

где a_c — коэффициент поглощения солнечной радиации; q_c — интенсивность радиации, Вт/м².

Интенсивность радиации зависит от состояния атмосферы, высоты над уровнем моря, активного наклона солнечных лучей. Значения q_c на территории страны в летние месяцы достигают 800–900 Вт/м². Коэффициенты ε и a_c для различных материалов, принятые в расчетах в соответствии с рекомендациями [10, 13, 15], приводятся в табл. 3. При толщине окраски 40–50 мкр степень черноты и коэффициент поглощения практически не зависят от материала основы и равны ε и a_c покрытия [16]. Цвет окраски влияет только на коэффициент поглощения. Наименьшие значения a_c имеют краски и эмали белого цвета.

Конвективный тепловой поток от шин к экрану в цилиндрической прослойке (на единицу длины) приближенно определяется по формуле для эквивалентного процесса теплопроводности [14], которая приводится к виду

$$Q_{\text{к. ш}} = \frac{2\pi \lambda_{\text{эк}} (\vartheta_w - \vartheta_s)}{\ln (d_{\text{ш}}/d_w)}, \quad (28)$$

где $d_{\text{ш}}$ и d_w — внутренний диаметр экрана и диаметр шины, м; $\lambda_{\text{эк}} = \varepsilon_{\text{эк}} \lambda_{\text{в. 2}}$ — эквивалентный коэффициент теплопроводности, учитывающий перенос теплоты через воздушную прослойку как теплопроводностью, так и конвекцией; $\lambda_{\text{в. 2}}$ — коэффициент теплопроводности воздуха, Вт/(м·К), определяемый при средней температуре прослойки $\vartheta_{\text{в. 2}} = 0,5(\vartheta_w + \vartheta_s)$; $\varepsilon_{\text{эк}} = 0,18(\text{GrPr})^{0,25}$ при $\text{CrPr} > 10^3$; Cr — число Грасгофа при средней температуре прослойки и характерном размере $d = (d_{\text{ш}} - d_w)/2$; Pr — число Прандтля, равное для газов примерно 0,7.

Тепловой поток излучением между шиной и экраном равен

$$Q_{\text{л. ш}} = \varepsilon_{\text{ш}} c_0 F_{\text{ш}} \left[\left(\frac{T_w}{100} \right)^4 - \left(\frac{T_s}{100} \right)^4 \right], \quad (29)$$

где $\varepsilon_{\text{ш}}$ — приведенный коэффициент поглощения системы шина — экран:

$$\varepsilon_{\text{ш}} = \left(\frac{1}{\varepsilon_w} + \left(\frac{1}{\varepsilon_{\text{ш}}} - 1 \right) \frac{F_w}{F_{\text{ш}}} \right)^{-1} \quad (30)$$

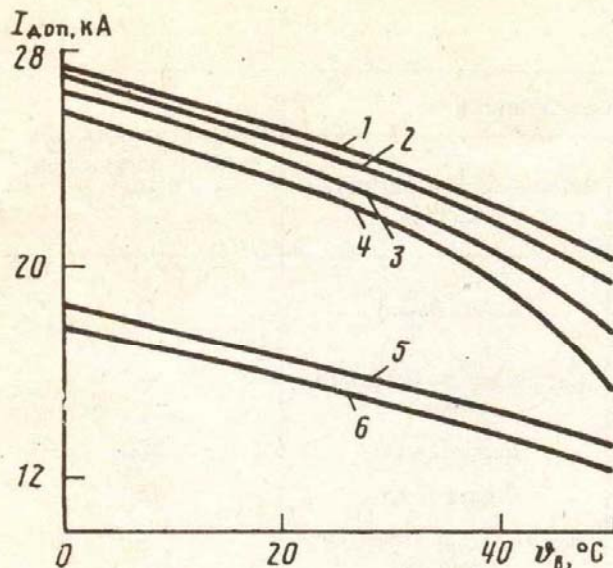


Рис. 5. Зависимости длительно допустимых токов токопровода ТЭНЕ-20-20000-560 УХЛ1 от температуры воздуха в наружных и внутренних установках при различной окраске шин и экранов

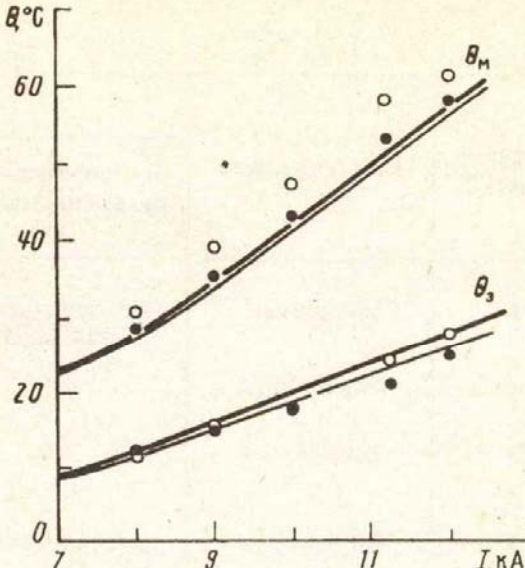


Рис. 6. Расчетные и экспериментальные зависимости перегревов шин и экранов токопровода ТЭН-300 от рабочего тока —×— фаза А; —○— фаза В

здесь $F_{ш}$, $F_{ш2}$, $\varepsilon_{ш}$ и $\varepsilon_{ш2}$ — площади поверхности, а также коэффициенты поглощения шины и внутренней поверхности экрана.

Результаты исследований подтвердили, что инженерные расчеты пофазно-экранированных токопроводов допустимо проводить при равномерном распределении плотности токов по толщине проводников, а потери определять по формуле

$$P_k = k_{nk} P'_k, \quad (31)$$

где P'_k — потери в k -ом проводнике при равномерном распределении тока по толщине, вычисленные по формуле (19); k_{nk} — коэффициент поверхностного эффекта, определяемый, например, в соответствии с рекомендациями [17].

Анализ конструкций современных пофазно-экранированных токопроводов показывает, что толщина стенки экранов не превышает 4—6 мм при диаметре 550—1160 мм, а шин — соответственно 8—17,5 мм при диаметре 120—650 мм. В этом случае коэффициент поверхностного эффекта экранов практически равен 1, а шин — составляет 1,03—1,15. Проведенные расчеты показали также, что потери в проводниках токопроводов при различной схеме соединения экранов оказываются равными

$$P_k (I, \vartheta) = I^2 [1 + \alpha (\vartheta - \vartheta_0)] P_{k0} (\vartheta_0), \quad (32)$$

где I — рабочий ток (шин); A ; α — температурный коэффициент электрического сопротивления материала проводника, $1/^\circ\text{C}$; ϑ_0 — начальная температура проводника (обычно 20°C); P_{k0} — потери в проводнике при температуре ϑ_0 и единичном рабочем токе (в шине), Вт.

Погрешность формулы (32) составляет менее одного процента, что позволяет проводить расчеты температуры проводников или длительно допустимых токов последовательно в два этапа: на первом этапе решать системы интегральных уравнений электромагнитного поля (определять плотности токов и потери в проводниках P_{k0} при единичном рабочем токе и активных сопротивлениях, соответствующих температуре ϑ_0); на втором — системы уравнений тепловых балансов (22) для каждой коаксиальной пары шина — экран (фазы) токопровода.

Температуры шин $\vartheta_{ш}$ и экранов $\vartheta_{ш}$ являются решениями систем трансцендентных уравнений (22) при заданном рабочем токе I . Длительно допустимый рабочий

Таблица 4

| № кривой на рис. 5 | Вид установки | Окраска проводников | | Интенсивность солнечной радиации, Вт/м ² |
|--------------------|---------------|---------------------------------------|------------------------------|---|
| | | шин и внутренних поверхностей экранов | внешних поверхностей экранов | |
| 1 | Наружные | Цветная эмаль (белая, серая) | Белая эмаль | 0 |
| 2 | Внутренние | » | Белая эмаль (цветная, серая) | — |
| 3 | Наружные | » | Белая эмаль | 850 |
| 4 | » | » | Серая эмаль | 850 |
| 5 | Внутренние | Неокрашенные | Белая эмаль (цветная, серая) | — |
| 6 | Наружные | » | Белая эмаль | 850 |

Таблица 5

Температуры шин и экранов, потери и тепловые потоки в средней фазе В токопровода ТЭНЕ-20-20000-560 УХЛ1 при температуре воздуха 40° С

| № кривой на рис. 5 | V , м/с | I , кА | ϑ_3 , °С | $\vartheta_{ш}$, °С | P_3 | $P_{ш}$ | $Q_{к,шэ}$ | $Q_{л,шэ}$ | Q_c | $Q_{к,э}$ | $Q_{л,э}$ |
|--------------------|-----------|----------|--------------------|----------------------|-------|---------|------------|------------|-------|-----------|-----------|
| | | | | | кВт/м | | | | | | |
| 1 | 0,6 | 21800 | 76 | 105 | 755 | 684 | 121 | 564 | 0 | 551 | 892 |
| 2 | 0 | 21570 | 77 | 105 | 741 | 666 | 116 | 549 | 0 | 412 | 916 |
| 3 | 0,6 | 20590 | 79,5 | 105 | 680 | 612 | 105 | 510 | 298 | 610 | 986 |
| | 5,0 | 20590 | 61 | 88 | 644 | 587 | 115 | 472 | 298 | 1054 | 476 |
| | 10,0 | 20590 | 54 | 83 | 631 | 579 | 119 | 459 | 298 | 1185 | 322 |
| 4 | 0,6 | 19100 | 80 | 102 | 589 | 520 | 87 | 434 | 646 | 619 | 1140 |
| 5 | 0 | 14500 | 57 | 105 | 315 | 302 | 230 | 72 | 0 | 182 | 435 |
| 6 | 0,6 | 13510 | 62 | 105 | 279 | 263 | 198 | 657 | 298 | 322 | 519 |

ток токопровода $I_{доп}$ равен наименьшему значению токов I_k' или I_k'' ($k = 1, 2, \dots, Q$), которые являются корнями систем уравнений (22) при их решении относительно тока $I = I_k'$ и температуры шины $\vartheta_{ш,k}$ (при температуре экрана, равной длительно допустимой $\vartheta_{ш, доп}$) или относительно тока $I = I_k''$ и температуры экрана ϑ_3 (при температуре шины, равной $\vartheta_{ш, доп}$).

Условия окружающей среды, а также окраска проводников оказывают существенное влияние на нагрузочную способность токопроводов. В качестве примера на рис. 5 приводятся расчетные зависимости длительно допустимого тока токопровода ТЭНЕ-20-20000-560УХЛ1 от температуры воздуха в наружных и внутренних установках. Данные об окраске шин и экранов, а также интенсивности солнечной радиации приводятся в табл. 4. Расчет токопроводов в наружных установках проводился при штиле, т. е. скорости ветра до 0,6 м/с, с учетом и без учета солнечной радиации.

Наибольший допустимый рабочий ток имеют токопроводы с окрашенными проводниками и экранами белого цвета в наружных установках при отсутствии солнечной радиации (кривая 1). Наибольший нагрев проводников (наименьший рабочий ток) оказывается у токопроводов с неокрашенными шинами и внутрен-

ними поверхностями экранов (кривые 5 и 6). При штатной окраске проводников (кривая 3), нормативном уровне солнечной радиации ($850 \text{ Вт}/\text{м}^2$), штиле и температуре воздуха 40° С расчетный длительно допустимый ток токопровода равен номинальному току $20\,000 \text{ А}$, установленному заводом-изготовителем.

Расчеты показывают, что для современных токопроводов при нормированных условиях окружающей среды токи I_k' и I_k'' , как правило, отличаются незначительно, т. е. в номинальном режиме температуры шин и экранов равны или незначительно ниже длительно допустимых значений. Например, у токопровода ТЭНЕ-20-20000-560УХЛ1 (табл. 5) температуры экранов при допустимых токах обычно ниже длительно допустимых температур 80° С (т. е. $I_k'' < I_k'$). Окраска в наружных установках при штатной окраске шин и окраске внешней поверхности экранов белой или серой краской, интенсивности солнечной радиации $850 \text{ Вт}/\text{м}^2$ (рис. 5, кривые 3 и 4), температуре воздуха больше $35—40^\circ \text{ С}$ ток I_k'' оказывается больше I_k' , т. е. при температуре экранов 80° С температура шин остается меньше допустимой 105° С .

При номинальных условиях тепловые потоки излучением с внешней поверхности экранов, а также между шинами и экранами обычно в $1,5—5$ раз больше соответствующих конвективных потоков (табл. 5). Вместе с тем в наружных установках с ростом скорости ветра V возрастает конвективный поток с поверхности экранов, который сначала достигает, а затем существенно превосходит поток излучением.

Расчетные температуры нагрева шин и экранов сопоставлялись с результатами экспериментальных исследований опытного токопровода ТЭН-300, а также других генераторных токопроводов, приведенными, например, в [12] и других работах. Погрешность расчета температур не превышала $5—30\%$. В качестве примера на рис. 6 приводятся расчетные и экспериментальные зависимости перепадов температур θ между шинами или экранами (средней и крайних фаз) токопровода ТЭН-300 и окружающим воздухом. Испытания проводились в НИЦ ВВА. Для измерения температур использовались термопары типа хромель — копель и медь — констант, подключенные к электронным потенциометрам. Температура воздуха, кроме того, контролировалась ртутными термометрами.

Экспериментальные значения температур (рис. 6) определялись на горизонтальных участках токопровода в верхних (наиболее нагретых) точках шин и экранов, удаленных от торцов опытного токопровода, поворотов, тепловых компенсаторов и сварных швов. У торцов токопровода температуры шин были примерно на $15—20\%$ ниже, вблизи сварных швов у тепловых компенсаторов — на $0,5—10\%$ выше. Температура экранов в различных точках изменялась незначительно.

Температура воздуха при испытаниях была $28—33^\circ \text{ С}$. Такая же температура принята в расчетах. Поскольку испытания проводились в закрытом помещении, при оценке нагрузочной способности вынужденный конвективный теплообмен и солнечная радиация не учитывались. Так как длина экспериментального токопровода невелика ($\sim 9,5 \text{ м}$), при расчете потерь и других параметров учитывалось сопротивление закороток экранов, примерно равное $0,019 \text{ мОм}/\text{м}$.

Расчетные и экспериментальные температуры экранов различаются незначительно (рис. 6). Экспериментально полученные значения температур шин в верхних слоях оказались на $4—10\%$ выше расчетных средних температур. Для инженерных расчетов нагрузочной способности пофазно-экранированных токопроводов, такую погрешность можно считать вполне удовлетворительной.

Для проведения научно-исследовательских и проектно-конструкторских работ разработана программа *EKRAN*, реализованная на ПЭВМ IBM PC в диалоговом режиме, предназначенная для расчетов пофазно-экранированных токопроводов наружных и внутренних электроустановок в рабочих режимах при различной схеме электрических соединений оболочек. Программа работает в следующих режимах: 1) расчет потерь и других электромагнитных параметров (продольных

токов, падений напряжений в проводниках, активных и индуктивных сопротивлений) при заданном рабочем токе и температуре проводников; 2) расчет средней температуры проводников (при заданном рабочем токе) токопроводов с естественным охлаждением, а также потерь и других электромагнитных параметров; 3) расчет длительно допустимых рабочих токов токопроводов с естественным охлаждением (при заданных допустимых температурах шин и экранов), а также потерь и других электромагнитных параметров.

Для удобства пользователей в программе предусмотрен выбор из меню схемы соединения экранов (рис. 1), марки сплавов шин и экранов, состояния поверхности проводников (некрашенные, окрашенные, а для внешней поверхности экранов в наружных установках — окрашенные различными цветами: белой, желтой, зеленой, красной, серой, черной красками), места прокладки токопровода (внутренние, наружные или одновременно внутренние и наружные установки), условий окружающей среды (стандартные или нестандартные). При необходимости возможен ввод (или коррекция) параметров сплавов проводников, коэффициентов излучения и поглощения, температуры воздуха в наружных и внутренних установках, интенсивности солнечной радиации, скорости и направления ветра.

Кроме того, в программу вводятся геометрические размеры проводников токопровода, расстояние между фазами, а также (в зависимости от режима работы программы) рабочий ток, температура шин и экранов или длительно допустимые температуры проводников, сопротивления дросселей и контура заземления. Исходные данные и результаты расчетов в виде таблиц, выводов и рекомендаций выводятся на дисплей (для текущего контроля). При выполнении программы формируется файл исходных данных, а также протокол расчета, который можно просматривать и выводить на принтер без выхода из программы.

Программа *EKRAN* прошла апробацию при исследовании нештатных режимов работы токопроводов генераторов 100 МВт на одной из ТЭЦ Мосэнерго и используется в конструкторских бюро заводов-изготовителей токопроводов России и Украины.

Выводы. 1. Методика расчета электромагнитных параметров токопроводов с шинами и экранами кольцевого сечения на основе решения интегральных уравнений методом коллокаций позволяет создать эффективно работающие алгоритмы и программы для систем автоматизированного проектирования токопроводов с воздушной и элегазовой изоляцией.

2. Наибольшие температуры нагрева проводников токопровода следует ожидать в наружных установках при наибольшем уровне солнечной радиации или внутри помещения (у токопроводов, защищенных от прямых солнечных лучей).

3. Окраска экранов цветными или серыми эмалями и красками в наружных установках приводит к снижению нагрузочной способности токопроводов (по сравнению с экранами белого цвета).

4. Изменения способа соединения экранов (заземление в двух точках, снятие перемычек), которые иногда имеют место при эксплуатации токопроводов, приводят к циркуляции больших токов в контуре заземления или появлению потенциала (до сотен вольт) на поверхности экранов.

СПИСОК ЛИТЕРАТУРЫ

1. Нечаев Б. Н., Соловьев Г. Г. Экспериментально-расчетный метод определения электрических параметров пофазно-экранированных токопроводов мощных генераторов // Тр. МЭИ. Вып. 162. М.: МЭИ, 1972. С. 157—165.
2. Кузнецов И. Ф., Цицкан Г. Н. Электродинамические условия в токоведущих частях электрических аппаратов. Л.: Энергоатомиздат, 1989. 176 с.
3. Чальян К. М. Методы расчета электромагнитных параметров токопроводов. М.: Энергоатомиздат, 1990. 280 с.
4. Тозони О. В. Расчет электрических полей на вычислительных машинах. Киев: Техника, 1967. 252 с.